



Сибирское отделение Российской Академии наук
институт ядерной физики им. Г.И. Будкера

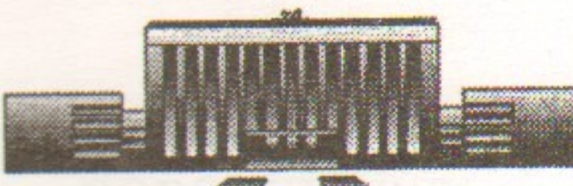
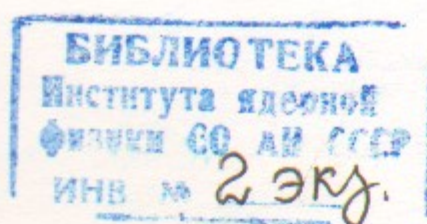
Б.94

Н.С. Бучельникова, В.Э. Карлин

НЕУСТОЙЧИВОСТЬ
ХОЛОДНОГО ЭЛЕКТРОННОГО ПУЧКА
В НЕОДНОРОДНОЙ ПЛАЗМЕ. I.

ИЯФ 99-21

<http://www.inp.nsk.su/publications>



НОВОСИБИРСК
1999

Сибирское отделение Российской Академии наук
Институт Ядерной физики им. Г.И. Будкера СО РАН

Н.С. Бучельникова, В.Э. Карлин

НЕУСТОЙЧИВОСТЬ
ХОЛОДНОГО ЭЛЕКТРОННОГО ПУЧКА
В НЕОДНОРОДНОЙ ПЛАЗМЕ. I.

ИЯФ 99-21

НОВОСИБИРСК
1999

Неустойчивость
холодного электронного пучка
в неоднородной плазме. I.

Н.С. Бучельникова, В.Э. Карлин

Институт ядерной физики им. Г.И.Будкера СО РАН
630090 Новосибирск, Россия

Аннотация

Проведены численные эксперименты (метод частиц в ячейках) по исследованию неустойчивости холодного пучка электронов с параметрами $V_o/V_T = 15.9$, $n_b/n_o = 5 \cdot 10^{-3}$ в неоднородной плазме. Параметры возмущения плотности $\lambda_i/r_d = 33.3$, $Ni = L/\lambda_i = 3$, $\tilde{n}/n_o \sim 0.01 \div 0.05$, $L/r_d = 100$. Ионы неподвижные.

Показано, что развитие пучковой неустойчивости приводит к формированию квазистационарной волны БГК. Параллельно с пучковой неустойчивостью развивается конверсия волны на возмущении плотности, которая приводит к возбуждению гармоник $N = N_e \pm N_i$ небольшой амплитуды, но не влияет на формирование и устойчивость волны БГК.

The instability
of cold electron beam
in inhomogeneous plasma. I.

N.S. Buchelnikova, V.E. Carlin

Budker Institute of Nuclear Physics
630090 Novosibirsk, Russia

Abstract

The instability of a cold electron beam ($V_o/V_T = 15.9$, $n_b/n_o = 5 \cdot 10^{-3}$) in inhomogeneous plasma with immobil ions was studied in numerical experiments (PIC-method). The parameters of the density perturbation $\lambda_i/r_d = 33.3$, $Ni = L/\lambda_i = 3$, $\tilde{n}/n_o \sim 0.01 \div 0.05$, $L/r_d = 100$.

It was shown that the evolution of the beam-plasma instability leads to the formation of the quasistationary BGK-wave. The instability is followed by the conversion of the wave on the density perturbation, which leads to the excitation of small amplitude conversion modes $N = N_e \pm N_i$, but does not influence on the formation and stability of the BGK-wave.

стремлений
внутрь спиральных очертаний
Г. Аманди Кондратовна и
Андрей Ф. Б. аспирант Э. Н.

КАФ ОБ АРХИВАМ И КНИГИ ВОЗРЕДЕ ТУРИГОДЫ
ЛЮБОЙ ПРОБЛЕМОЙ 00006

ВВЕДЕНИЕ

Целью работы (задача и метод работы) является изучение неустойчивости пучка электронов в однородной плазме, состоящем из ионов водорода и азота. Плотность пучка электронов $n_e = 10^14 \text{ см}^{-3}$, плотность ионов водорода $n_H = 10^{14} \text{ см}^{-3}$, плотность ионов азота $n_N = 10^{14} \text{ см}^{-3}$, температура пучка $T_e = 10^4 \text{ K}$, температура ионов водорода $T_H = 10^4 \text{ K}$, температура ионов азота $T_N = 10^4 \text{ K}$.

При исследовании неустойчивости пучка электронов в однородной плазме было показано, что неустойчивость пучка определяется захватом электронов пучка ионами водорода и азота [1].

МЕТОДЫ

Методы исследования:

1) численные эксперименты;

2) численный метод;

3) численный метод;

4) численный метод;

5) численный метод;

6) численный метод;

7) численный метод;

8) численный метод;

9) численный метод;

10) численный метод;

11) численный метод;

12) численный метод;

13) численный метод;

14) численный метод;

15) численный метод;

16) численный метод;

17) численный метод;

18) численный метод;

19) численный метод;

20) численный метод;

21) численный метод;

22) численный метод;

23) численный метод;

24) численный метод;

25) численный метод;

26) численный метод;

27) численный метод;

28) численный метод;

29) численный метод;

30) численный метод;

31) численный метод;

32) численный метод;

33) численный метод;

34) численный метод;

35) численный метод;

36) численный метод;

37) численный метод;

38) численный метод;

39) численный метод;

40) численный метод;

41) численный метод;

42) численный метод;

43) численный метод;

44) численный метод;

45) численный метод;

46) численный метод;

47) численный метод;

48) численный метод;

49) численный метод;

50) численный метод;

51) численный метод;

52) численный метод;

53) численный метод;

54) численный метод;

55) численный метод;

56) численный метод;

57) численный метод;

58) численный метод;

59) численный метод;

60) численный метод;

61) численный метод;

62) численный метод;

63) численный метод;

64) численный метод;

65) численный метод;

66) численный метод;

67) численный метод;

68) численный метод;

69) численный метод;

70) численный метод;

71) численный метод;

72) численный метод;

73) численный метод;

74) численный метод;

75) численный метод;

76) численный метод;

77) численный метод;

78) численный метод;

79) численный метод;

80) численный метод;

81) численный метод;

82) численный метод;

83) численный метод;

84) численный метод;

85) численный метод;

86) численный метод;

87) численный метод;

88) численный метод;

89) численный метод;

90) численный метод;

91) численный метод;

92) численный метод;

93) численный метод;

94) численный метод;

95) численный метод;

96) численный метод;

97) численный метод;

98) численный метод;

99) численный метод;

100) численный метод;

101) численный метод;

102) численный метод;

103) численный метод;

104) численный метод;

105) численный метод;

106) численный метод;

107) численный метод;

108) численный метод;

109) численный метод;

110) численный метод;

111) численный метод;

112) численный метод;

113) численный метод;

114) численный метод;

115) численный метод;

116) численный метод;

117) численный метод;

118) численный метод;

119) численный метод;

120) численный метод;

121) численный метод;

122) численный метод;

123) численный метод;

124) численный метод;

125) численный метод;

126) численный метод;

127) численный метод;

128) численный метод;

129) численный метод;

130) численный метод;

131) численный метод;

132) численный метод;

133) численный метод;

134) численный метод;

135) численный метод;

136) численный метод;

137) численный метод;

138) численный метод;

139) численный метод;

140) численный метод;

141) численный метод;

142) численный метод;

143) численный метод;

144) численный метод;

145) численный метод;

146) численный метод;

147) численный метод;

148) численный метод;

149) численный метод;

150) численный метод;

151) численный метод;

152) численный метод;

153) численный метод;

154) численный метод;

155) численный метод;

156) численный метод;

157) численный метод;

158) численный метод;

159) численный метод;

160) численный метод;

161) численный метод;

162) численный метод;

163) численный метод;

164) численный метод;

165) численный метод;

166) численный метод;

167) численный метод;

168) численный метод;

169)

движения электронов плазмы, затуханию поля и разрушению формирующейся волны БГК.

В настоящей работе исследуется неустойчивость пучка со скоростью $V_o/V_T = 15.9$ и плотностью $\tilde{n}/n_o = 5 \cdot 10^{-3}$ – теми же, что и в работе [1]. В работе [1] показано, что развитие пучковой неустойчивости в этом случае приводит к формированию стационарной волны БГК, а сателлитная и модуляционная неустойчивость не развиваются. Показано что развитие пучковой неустойчивости в этом случае практически не отличается от случая плазмы с неподвижными ионами [4].

Ранее исследовалась конверсия ленгмюровской волны при взаимодействии с синусоидальным возмущением плотности плазмы (ионно-звуковой волной в плазме с подвижными ионами) [5,6,7]. Было показано, что конверсия приводит к генерации гармоник – прямых и обратных ленгмюровских волн с волновыми векторами $k_N = k_e \pm \beta k_i$ и номерами гармоник $N = N_e \pm \beta N_i$, $\beta = 1, 2, 3\dots$. При малых амплитудах волны и возмущения плотности \tilde{n}/n_o развивается ограниченное число гармоник. При достаточно больших \tilde{n}/n_o процесс имеет каскадный характер и число гармоник растёт. Амплитуда гармоник описывается модулем функций Бесселя порядка β – $E_\beta^N/E_o = |J_\beta(\frac{1}{2} \frac{\tilde{n}}{n_o} \omega_{oet})|$, а амплитуда исходной волны – модулем функции Бесселя нулевого порядка. Скорость развития конверсии растёт с ростом \tilde{n}/n_o .

В динамическом описании конверсия ленгмюровской волны проявляется в модуляции поля волны и концентрации энергии во впадинах плотности. В результате в плазме с подвижными ионами развитие конверсии сопровождается развитием модуляционной неустойчивости [7].

Исследовалась также конверсия волны БГК при взаимодействии с возмущением плотности плазмы в плазме с неподвижными [8] и подвижными [9] ионами. Параметры волны БГК были выбраны так, чтобы сателлитная неустойчивость не играла роли. Было показано, что конверсия, так же как в случае ленгмюровской волны, приводит к генерации гармоник – прямых и обратных ленгмюровских волн с номерами гармоник $N = N_e \pm \beta N_i$. Однако развитие конверсии существенно отличается от случая ленгмюровской волны. В волне БГК обмен энергией захваченных электронов с полем волны поддерживает поле на постоянном уровне и препятствует модуляции волны и развитию конверсии. В результате при малых возмущениях плотности конверсия подавлена – максимальные амплитуды гармоник конверсии много меньше, чем в случае ленгмюровской волны, а параметры волны БГК практически не меняются и волна остаётся устойчивой [8]. При малых возмущениях плотности волна БГК с небольшой амплитудой остаётся устойчивой и в плазме с подвижными ионами [9].

С ростом \tilde{n}/n_o роль конверсии возрастает. При больших \tilde{n}/n_o начальная стадия развития гармоник конверсии приближается к случаю ленгмюровской волны [8]. В плазме с подвижными ионами модуляция волны, обусловленная конверсией, приводит к развитию модуляционной неустойчивости [9].

С ростом возмущения плотности становится существенным ещё один эффект – уменьшение фазовой скорости волны. Это приводит к новым нелинейным эффектам, связанным с движением захваченных в волне БГК электронов. Распределение этих электронов подстраивается к новой фазовой скорости, в результате чего формируется волна БГК с новыми параметрами [8,9].

При дальнейшем увеличении \tilde{n}/n_o конверсия приобретает каскадный характер, что приводит к генерации коротковолновых гармоник, развитию сильной стохастической неустойчивости движения электронов плазмы, затуханию поля и разрушению волны БГК [8,9].

В настоящей работе взаимодействие пучок-плазма исследуется в случае плазмы с неподвижными ионами, чтобы выделить первичные эффекты, связанные с возмущением плотности. Задаётся синусоидальное возмущение плотности с длиной волны $\lambda_i/r_d = 33.3$; номером гармоники $N_i = L/\lambda_i = 3$ и амплитудой $\tilde{n}/n_o \sim 0.01 \div 0.4$. Работа разбита на две части: в работе I исследуется взаимодействие пучок - плазма при малых возмущениях плотности с $\tilde{n}/n_o \sim 0.01 \div 0.05$, в работе II – при возмущениях с $\tilde{n}/n_o \sim 0.1 \div 0.4$.

Найдено, что во всех случаях начальная стадия взаимодействия пучок-плазма, так же, как в случае однородной плазмы, определяется пучковой неустойчивостью и захватом электронов пучка возбуждающейся волной. Параллельно пучковой неустойчивости развивается конверсия волны на возмущении плотности. Движение захваченных электронов уже на нелинейной стадии пучковой неустойчивости приводит к подавлению конверсии. При малых возмущениях плотности $\tilde{n}/n_o \sim 0.01 \div 0.05$, когда скорость развития гармоник конверсии меньше скорости развития захвата электронов основной волной, амплитуда гармоник конверсии остаётся малой и конверсия практически не влияет на развитие неустойчивости. В результате "размешивание" захваченных электронов так же, как в случае однородной плазмы [1], приводит к формированию квазистационарной волны БГК (I).

С ростом \tilde{n}/n_o скорость развития и амплитуда гармоник конверсии растут, конверсия приобретает каскадный характер и приводит к возбуждению широкого спектра гармоник $N = N_e \pm \beta N_i$. В районе областей захвата гармоник конверсии развивается сильная стохастическая неустойчивость движения электронов плазмы, что приводит к затуханию поля. Параллельно формируется волна БГК и меняется её фазовая скорость. При $\tilde{n}/n_o \sim 0.1$ после сброса части энергии формируется практически стационарная, а при $\tilde{n}/n_o \sim 0.2 \div 0.4$ медленно затухающая волна БГК. Параметры волны БГК (амплитуда, фазовая скорость) в этих случаях значительно отличаются от случая однородной плазмы [1].

Численный эксперимент выполняется методом частиц в ячейках. Рассматривается одномерная система длиной $L/r_d = 100$ с периодическими граничными условиями. Для электронов и ионов плазмы задаётся максвелловское

распределение с $T_e/T_i = 30$, обрезанное на скорости $V \sim \pm 2.8 V_T$ из за ограниченности числа счетных частиц ($N^e \sim 10^5$). Ионы неподвижные ($M/m = 10^{10}$).

Задаётся холодный (монохроматический) пучок со скоростью, значительно превышающей тепловую $V_o/V_T \sim 15.9$, с числом частиц $N^b = 5 \cdot 10^2$, плотностью $n_b/n_o \sim 5 \cdot 10^{-3}$ и энергией $W_b^o/W_e^o = 1.297$. Параметры пучка те же, что и в работе [1].

Для эффективного увеличения числа частиц пучка при сохранении отношения n_b/n_o применяется метод "взвешивания". "Взвешивание" эквивалентно тому что один электрон дробится на α частиц с массой m/α и зарядом e/α , но с тем же отношением e/m как у электрона, так что движение этих частиц (назовём их b-электронами) не отличается от движения электронов. В рассматриваемом случае $\alpha = 20$ и число b-электронов $N^{b'} = 1 \cdot 10^4$.

В системе с периодическими граничными условиями возможно возбуждение только ограниченного числа гармоник с номерами $N = L/\lambda^N = 1, 2, 3, \dots$. Для пучка конечной плотности, согласно линейной теории [10], существует условие неустойчивости. При рассматриваемых параметрах пучка и системы это условие позволяет на линейной стадии возбуждение только одной основной гармоники $N = 1$ (подробнее см. [1]). Параметры пучка выбраны так, чтобы гармоника $\lambda/r_d = 100$, $N = 1$ была гармоникой с максимальным инкрементом.

Для сокращения времени счета в начальный момент задается затравочная ленгмюровская волна малой амплитуды $E_o / (\frac{mr_d}{eT_{oe}^2}) = 1$ с длиной волны $\lambda/r_d = 100$, соответствующей гармонике с максимальным инкрементом, и фазовой скоростью $V/V_T = 16.1$. Проверочные численные эксперименты без затравочной волны показывают, что задание затравочной волны сокращает начальную стадию неустойчивости, но не меняет её дальнейшее развитие [1].

Задается синусоидальное возмущение плотности ионов и электронов плазмы с длиной волны $\lambda_i/r_d = 33.3$ и номером гармоники $N_i = L/\lambda_i = 3$. Положение впадин плотности $x/r_d = 16.7, 50.0, 83.3$. Амплитуда возмущения различна в разных случаях:

Случай	1	2	3	4	5
\tilde{n}/n_o	0.01	0.05	0.1	0.2	0.4

Случай 1 и 2 рассмотрены в настоящей работе I, случаи 3,4 и 5 – в работе II.

Для описания развития неустойчивости сравниваются различные кривые:

Зависимость от времени потерь энергии электронов пучка (b-электронов) $\Delta W_b = -(W_b - W_b^o)$ (W_b^o – начальная энергия электронов пучка, $W_b^o/W_e^o = 1.297$), энергии электрического поля W_E , энергии электронов плазмы (р-электронов) $\Delta W_e = W_e - W_e^o$ (W_e^o – тепловая энергия электронов плазмы). W нормируется на W_e^o или W_b^o .

Зависимость от времени амплитуды E^N основной волны $N = 1$ и гармоник. На рисунках и в тексте E нормируется на mr_d/eT_{oe}^2 , $T_{oe} = \frac{2\pi}{\omega_{oe}}$ – период плазменных колебаний.

Если гармоника с номером N является прямой (фазовая скорость $V_\Phi^N > 0$) или обратной ($V_\Phi^N < 0$) волной, то кривые $E^N(t)$ не различаются. Вопрос о том, прямая это волна или обратная, решается определением знака V_Φ^N или с помощью пробных частиц (см. ниже). Одновременное возбуждение прямой и обратной волны, эквивалентное появлению компоненты стоячей волны, проявляется в колебаниях $E^N(t)$ с периодом $\sim T_{oe}/2$.

Распределение поля $E(x)$, возмущения плотности ионов (плотности плазмы) $\tilde{n}(x)$ ($\tilde{n} = n - n_o$) и возмущения плотности электронов пучка $\tilde{n}_b(x)$ ($\tilde{n}_b = n_b - n_b^o$) в разные моменты времени. $E(x)$, $\tilde{n}(x)$, $\tilde{n}_b(x)$ нормируются на E_m , \tilde{n}_m , \tilde{n}_{bm} – максимальные значения $|E(x)|$, $|\tilde{n}(x)|$, $|\tilde{n}_b(x)|$, приведенных на данном рисунке или на заданные E_m , \tilde{n}_m , \tilde{n}_{bm} .

Фазовые плоскости электронов в координатах $x/r_d - V/V_T$. Темными кружками обозначены пробные частицы (см. ниже).

Функции распределения по скоростям электронов плазмы $f_e(V)$ и электронов пучка (b-электронов) $f_b(V)$. На одном рисунке приводятся обе функции распределения, причем каждая нормируется на свой максимум f_{max} . Чтобы показать хвосты функции распределения, кривые $f(V)$ приводятся в логарифмическом масштабе $-lg(f_e(V)/f_{e max})$ и $lg(f_b(V)/f_{b max})$.

Для исследования стохастических эффектов в начальный момент времени задаются пробные частицы с $e = m = 0$, но e/m тем же, как у электрона. Задается 100 пробных частиц с начальными координатами x_N^o , V_N^o . Рассматриваются разные распределения пробных частиц по x_N^o , V_N^o . Фазовые плоскости для случаев 2-5 приводятся для типичного начального распределения: 20 частиц с одинаковыми скоростями, равными скорости пучка $V_N^o = V_o$, равномерно распределенные по x_N^o в интервале $x/r_d \sim 20 - 60$; по 40 частиц со скоростями $V_N^o/V_T = 2.84$ (верхняя граница плазмы) и $V_N^o/V_T = -2.84$ (нижняя граница плазмы), равномерно распределенные по x_N^o на длине системы $x/r_d \sim 0 - 100$. Анализируется распределение пробных частиц на фазовой плоскости в разные моменты времени, а также траектории частиц на фазовой плоскости. Обычно выводится 18 траекторий.

Траектории электронов (пробных частиц) на фазовой плоскости приводятся в лабораторной системе (координаты $x/r_d - V/V_T$) или в системе координат той или иной гармоники (координаты $(x - V_\Phi^N t)/r_d - (V - V_\Phi^N t)/V_T$). При построении траекторий в системе координат гармоник $N \geq 2 V_\Phi^N$ берется равной фазовой скорости ленгмюровской волны с соответствующей λ^N . При построении траекторий в системе основной волны $N = 1$ используется средняя фазовая скорость волны.

Фазовая скорость основной волны определяется по сдвигу фазы x_{max} максимума кривой $E^I(x)$ этой волны $V_\Phi(t) = \frac{\Delta x_{max}(t)}{\Delta t}$ с малым шагом $\Delta t/T_{oe} = 0.05$ и усредняется в нужном интервале времени.

Рассмотрим случаи 1 и 2. В этих случаях задан пучок с $V_o/V_T = 15.9$; $n_b/n_o \sim 5 \cdot 10^{-3}$ и возмущение плотности $N_i = 3$ с амплитудой $\tilde{n}/n_o \sim 0.01$ (случай 1) или $\tilde{n}/n_o \sim 0.05$ (случай 2).

В работах [1, 4] исследовалась неустойчивость пучка с теми же параметрами в однородной плазме с подвижными ($\frac{M}{m} \sim 10^2$) [1] и неподвижными [4] ионами. Было найдено, что оба случая практически не различаются. На начальной стадии пучковая неустойчивость приводит к возбуждению гармоники с максимальным инкрементом $N = 1$. Нелинейная стадия неустойчивости определяется захватом электронов пучка. Результаты численного эксперимента практически совпадают с расчетом по теории [11, 12]. Отметим, что теория [11, 12] согласуется с лабораторным экспериментом [13].

На рис.1,2 показаны кривые $E^N(t)$ в интервале $t/T_{oe} \sim 0-20$ для случаев 1 и 2. Из рис.1 и 2 видно, что и в этих случаях пучковая неустойчивость приводит к развитию гармоники с максимальным инкрементом $N = 1$. Кривые $E^I(t)$ проходят через максимум в $t = t_{\max}^I$, а далее меняются с периодом $T/T_{oe} \sim 6$, соответствующим периоду обращения захваченных частиц. Это показывает, что нелинейная стадия пучковой неустойчивости и в этих случаях определяется захватом электронов пучка. Кривые $E^I(t)$ практически одинаковы в случаях 1 и 2 и практически не отличаются от случая 1-1 в работе [1] и от случая в работе [4]. Это видно из таблицы 1, где приведены значения t_{\max}^I , амплитуда гармоники $N = 1$ в $t = t_{\max}^I$ E_{\max}^I и соответствующее ей V_s^I ($V_s = 2\sqrt{\frac{e\phi}{m}}$), а также потери энергии пучка ΔW_b , энергия поля W_E , энергия электронов плазмы ΔW_e (в единицах W/W_e^o и W/W_b^o) в своих максимумах в $t \sim t_{\max}^I$. Отметим, что небольшие различия в значениях t_{\max}^I в случаях [1, 4] и случаях 1, 2 связаны с небольшими различиями в задании затравочной волны.

Таблица 1.

Случай	\tilde{n}/n_o	t_{\max}^I/T_{oe}	E_{\max}^I	$\frac{V_s^I}{V_T}$	$\frac{\Delta W_b}{W_b^o}$	$\frac{W_E}{W_e^o}$	$\frac{\Delta W_e}{W_e^o}$	$\frac{\Delta W_b}{W_b^o}$	$\frac{W_E}{W_b^o}$	$\frac{\Delta W_e}{W_b^o}$
1 – 1 [1]	–	7.5	22.2	5.98	0.36	0.17	0.19	0.28	0.13	0.15
[4]	–	7.3			0.37	0.17	0.20	0.29	0.13	0.16
1	0.01	7.4	22.6	6.04	0.37	0.17	0.20	0.29	0.13	0.16
2	0.05	7.4	22.6	6.04	0.37	0.17	0.20	0.29	0.13	0.16

E – нормировано на $\frac{mr_d}{eT_{oe}^2}$, $V_s = 2\sqrt{\frac{e\phi}{m}}$; ΔW_b , W_E , ΔW_e – максимальные значения $W(t)$ в $t \sim t_{\max}^I$.

Таким образом, начальная стадия пучковой неустойчивости в плазме с малым возмущением плотности в случаях 1 и 2 практически не отличается от случая однородной плазмы [1, 4].

Однако, из рис.1,2 видно, что помимо гармоники $N = 1$ в этих случаях развиваются гармоники $N = 2$ и $N = 4$.

Известно [5, 6, 7], что взаимодействие ленгмюровской волны с возмущением плотности (ионно – звуковой волной) приводит к конверсии – модуляции волны. В спектральном описании конверсия проявляется в возбуждении гармоник основной волны – прямых и обратных ленгмюровских волн с номерами гармоник $N = N_e \pm \beta N_i$, $\beta = 1, 2, 3, \dots$. В рассматриваемых случаях $N_e = 1$, $N_i = 3$, так что при $\beta = 1$ должны возбуждаться гармоники $N = N_e + N_i = 4$ и $N = N_e - N_i = -2$ (знаком “-” будем обозначать обратные волны) с фазовыми скоростями $V_\Phi^{IV}/V_T = 4.34$ и $V_\Phi^{II}/V_T = -8.14$. Из рис.1,2 видно, что возбуждаются именно эти гармоники. Гармоник с $\beta \geq 2$ не наблюдается.

Таким образом, в случаях 1 и 2 наблюдается конверсия ленгмюровской волны $N = 1$, возбуждающейся при пучковой неустойчивости.

Если задается ленгмюровская волна определенной амплитуды, то при ее конверсии амплитуды гармоник $N = N_e \pm \beta N_i$ меняются как функции Бесселя порядка β : $E_\beta^N/E_o = |J_\beta(\frac{1}{2} \frac{\tilde{n}}{n_o} \omega_{oe} t)|$, так что расчетное положение максимумов $E^N(t) - t_{\text{расч}}^N$ зависит только от \tilde{n}/n_o и β , а амплитуда в максимуме $E_{\text{расч}}^N/E_o$ зависит только от β [5, 6]. Для случая 1 с $\tilde{n}/n_o \sim 0.01$ при $\beta = 1$ $t_{\text{расч}}^{II}/T_{oe} = t_{\text{расч}}^{IV}/T_{oe} \sim 60$, для случая 2 с $\tilde{n}/n_o \sim 0.05$ $t_{\text{расч}}^{II}/T_{oe} = t_{\text{расч}}^{IV}/T_{oe} \sim 12$, так что в обоих случаях $t_{\text{расч}}^N > t_{\max}^I$. Расчетная максимальная амплитуда в обоих случаях $E_{\text{расч}}^{II}/E_o = E_{\text{расч}}^{IV}/E_o = 0.582$.

При развитии пучковой неустойчивости амплитуда основной волны меняется во времени. Из рис.1,2 видно, что амплитуда гармоник конверсии следует за амплитудой $E^I(t)$, так что максимумы $E^{II}(t)$, $E^{IV}(t)$ достигаются в интервале времени между максимумом и минимумом $E^I(t)$. В результате амплитуда гармоник конверсии меняется с периодом $T/T_{oe} \sim 6$ так же, как и $E^I(t)$. Максимальные амплитуды гармоник конверсии в случаях 1 и 2 значительно меньше, чем у основной волны $N = 1$. В таблице 2 приведены максимальные амплитуды E_m^N и E_m^N/E_{\max}^I в первом максимуме $E^N(t)$ для гармоник $N = -2$ и $N = 4$ в случаях 1 и 2. Отметим, что значения E_m^N не являются точными, так как максимумы $E^N(t)$ сильно размыты.

Таблица 2.
 $V_\Phi^{II}/V_T = -8.14$; $V_\Phi^{IV}/V_T = 4.34$

Случай	E_{\max}^I	E_m^N	$\frac{V_s^N}{V_T}$	$\frac{E_m^N}{E_{\max}^I}$	E_m^{IV}	$\frac{V_s^{IV}}{V_T}$	$\frac{E_m^{IV}}{E_{\max}^I}$
1	22.6	4.0	1.80	0.18	1.1	0.67	0.05
2	22.6	6.9	2.36	0.31	2.3	0.96	0.10

E – нормировано на $\frac{mr_d}{eT_{oe}^2}$; $V_s^N = 2\sqrt{\frac{e\phi}{m}} = 2\sqrt{\frac{eE^N}{m} \cdot \frac{\lambda^N}{2\pi}}$.

Рассмотрим подробнее случай 1 с $\tilde{n}/n_o \sim 0.01$.

В работе [1] в случае 1-1 исследовалось развитие пучковой неустойчивости в однородной плазме в течение длительного времени $t/T_{oe} \sim 0 - 600$

$(\omega_{oe} t \sim 3800)$ порядка 100 оборотов захваченных частиц. Было показано, что развитие неустойчивости приводит к "размешиванию" захваченных частиц на фазовой плоскости и к формированию стационарной волны БГК.

В случае 1 развитие неустойчивости также исследуется в интервале $t/T_{oe} \sim 0 - 600$. На рис.3,4,5 а,б показана зависимость от времени в интервале $t/T_{oe} \sim 0 - 600$ энергии поля W_E и потерь энергии электронов пучка ΔW_b (рис.3), амплитуды основной волны $N = 1$ и гармоник $N = 2 \div 10$ (рис.4), амплитуды гармоник $N = 2$ и $N = 4$ (рис.5а,б). На рис.6,7,8 для интервала $t/T_{oe} \sim 100 - 600$ показаны фазовые плоскости (рис.6), функции распределения по скоростям (рис.7), распределение поля $E(x)$ и плотности электронов пучка $\tilde{n}_b(x)$ (рис.8).

Сравнение кривых $W(t)$ (рис.3) и $E^I(t)$ (рис.4) с соответствующими кривыми случая однородной плазмы 1-1 ([1] рис.3,4) показывает, что они практически не различаются. Из рис.3,4 видно, что в интервале $t/T_{oe} \sim 100 - 600$ практически сохраняется средняя амплитуда E^I (рис.4), сохраняются средние потери энергии электронов пучка, средняя энергия поля (рис.3) и энергия электронов плазмы (не показана на рис.3). Сохраняется и средняя фазовая скорость волны $N = 1$ $V_{\text{фср}}/V_T \sim 14.54$. Средние величины для интервала времени $t/T_{oe} \sim 400 - 600$ для случаев 1-1 [1] и 1 и для интервала $t/T_{oe} \sim 100 - 200$ для случая 2 приведены в таблице 3.

Таблица 3.

Случай	$\frac{V_{\text{фср}}}{V_T}$	$E_{\text{ср}}^I$	$\frac{V_{\text{ср}}^I}{V_T}$	$\frac{\Delta W_{b\text{ср}}}{W_e^o}$	$\frac{W_{E\text{ср}}}{W_e^o}$	$\frac{\Delta W_{b\text{ср}}}{W_b^o}$	$\frac{W_{E\text{ср}}}{W_b^o}$
1 - 1 [1]	14.55	13.5	4.75	0.16	0.064	0.13	0.050
1	14.54	14.5	4.83	0.15	0.072	0.12	0.056
2	14.53	14.5	4.83	0.17	0.070	0.13	0.054

Из таблицы 3 видно, что средние величины в случаях 1 и 1-1 [1] почти не различаются.

Сохранение средней амплитуды и средней фазовой скорости волны $N = 1$ показывает, что волна имеет стационарный характер.

Отличием случая 1 от случая 1-1 является возбуждение гармоник конверсии. Из рис.4 и 5 а,б видно, что средняя и максимальная амплитуды гармоник конверсии в интервале $t/T_{oe} \sim 100 - 600$ практически постоянны. При этом амплитуда гармоник $N = 4$ и $N = -2$ промодулирована с тем же периодом, что и амплитуда основной волны. Кроме того амплитуда гармоники $N = 4$ промодулирована с периодом $T/T_{oe} \sim 50 - 60$. Природа этой модуляции остается не ясной.

Из рис.4 видно, что амплитуды гармоник конверсии остаются малыми по сравнению с амплитудой основной волны $N = 1$. Максимальные амплитуды гармоник конверсии в интервале $t/T_{oe} \sim 400 - 600$ в случае 1:

$E_{\text{ср}}^I$	E_{max}^{II}	$\frac{V_3^{II}}{V_T}$	$\frac{E_{\text{max}}^{II}}{E_{\text{ср}}^I}$	E_{max}^{IV}	$\frac{V_3^{IV}}{V_T}$	$\frac{E_{\text{max}}^{IV}}{E_{\text{ср}}^I}$
14.5	3.5	1.63	0.24	1.3	0.72	0.09

Вернемся к волне $N = 1$. По фазовым плоскостям (рис.6) видно, что происходит "размешивание" захваченных б-электронов на фазовой плоскости. К $t/T_{oe} \sim 100$ вся область захвата заполняется электронами. В $t/T_{oe} \sim 100 - 600$ вид фазовой плоскости практически не меняется.

По функции распределения (рис.7) и распределению $\tilde{n}_b(x)$ (рис.8) видно, что вид $f_b(v)$ и $\tilde{n}_b(x)$ в $t/T_{oe} \sim 100 - 600$ меняется незначительно. Обе функции имеют вид пиков. Максимум $f_b(v)$ находится вблизи от скорости $V \sim V_{\text{фср}}^I$. Максимум $\tilde{n}_b(x)$ находится вблизи точки, где $E^I(x) = 0$, соответствующей $x = x_m$ – максимуму сепаратрисы. Это показывает, что основная часть захваченных электронов сосредоточена вблизи центра области захвата $x \sim x_m$ $V \sim V_\Phi$ так же, как в случае 1-1 [1] (подробнее см [1]). Вид $f_b(V)$ и $\tilde{n}_b(x)$ мало отличается от случая 1-1 ([1] рис.11,12,14). Отметим, что в работе [1] $f_b(V)$ и $\tilde{n}_b(x)$ приведены в моменты времени, соответствующие максимальным значениям $E^I(t)$. В настоящей работе (все случаи в I и II) моменты времени не соответствуют определенной фазе $E^I(t)$.

Сохранение распределения б-электронов на фазовой плоскости (рис.6), распределения по скорости (рис.7) и плотности $\tilde{n}_b(x)$ (рис.8), постоянство средней амплитуды волны (рис.4) и средней фазовой скорости показывает, что развитие пучковой неустойчивости в случае 1 приводит к формированию квазистационарной волны БГК. При этом конверсия остается подавленной – максимальные амплитуды гармоник конверсии не превосходят величины $E_{\text{max}}^{II}/E_{\text{ср}}^I \sim 0.24$.

Рассмотрим случай 2 с $\tilde{n}/n_o \sim 0.05$. В этом случае развитие неустойчивости прослеживалось в интервале $t/T_{oe} \sim 0 - 200$. На рис.9,10,11 показана зависимость от времени энергии W_E , ΔW_e , ΔW_b (рис.9), амплитуды основной волны $N = 1$ и гармоник $N = 2 \div 10$ (рис.10), амплитуды гармоник $N = 2$ и 4 (рис.11а,б).

На рис.12 показаны фазовые плоскости в интервале $t/T_{oe} \sim 20 - 200$, на рис.13 – функции распределения в линейном и логарифмическом масштабе в $t/T_{oe} \sim 100 - 200$, на рис.14 – распределение $E(x)$ и $\tilde{n}_b(x)$ в $t/T_{oe} \sim 100 - 200$.

Как уже говорилось, в случае 2 начальная стадия пучковой неустойчивости практически не отличается от случаев 1 и 1-1 [1], что видно из сравнения рис.1, рис.2 и таблицы 1. Конверсия также остается малой, хотя амплитуды гармоник конверсии подрастают по сравнению со случаем 1 (рис.1,2 и таблица 2).

Развитие неустойчивости в течение длительного времени также незначительно отличается от случая 1. Действительно, по рис.9,10 видно, что до $t/T_{oe} \sim 200$ практически сохраняется средняя амплитуда E^I и потери энергии пучка ΔW_b . Сохраняются и средняя фазовая скорость волны $N = 1$ $V_{\text{фср}}^I/V_T \sim 14.53$. Однако из рис.9 видно, что в $t/T_{oe} \sim 100 - 200$ средняя энергия поля W_E немного падает, а средняя энергия электронов плазмы немного

растет (в $t/T_{oe} \sim 200$ $W_{Ecp}/W_e^o \sim 0.070$, $\frac{\Delta W_{Ecp}}{W_e^o} \sim 0.094$). Это показывает, что в случае 2 идет небольшое затухание. Средние величины для интервала времени $t/T_{oe} \sim 100 - 200$ (W_{Ecp} для $t/T_{oe} \sim 200$) приведены в таблице 3. Из таблицы 3 видно, что несмотря на небольшое затухание, средние величины в случае 2 почти не отличаются от случаев 1 и 1-1 [1].

Сохранение средней амплитуды и средней фазовой скорости волны $N = 1$ показывает, что и в случае 2 волна имеет стационарный характер.

Сравнение рис.10 и рис.4 показывает, что амплитуды гармоник конверсии в случае 2, хотя и больше, чем в случае 1, но остаются сравнительно малыми по сравнению с амплитудой $N = 1$. Из рис.11а,б видно, что в $t/T_{oe} \sim 100 - 200$ средняя и максимальная амплитуды гармоники $N = -2$ остаются практически постоянными (рис.11а), а у гармоники $N = 4$ немного уменьшаются (рис.11б). При этом амплитуда обеих гармоник промодулирована с периодом модуляции основной волны, а амплитуда гармоники $N = 4$, кроме того, промодулирована с периодом $t/T_{oe} \sim 40 - 50$. Максимальные амплитуды гармоник конверсии в интервале $t/T_{oe} \sim 100 - 200$:

E_{cp}^I	E_{max}^{II}	$\frac{V_{\phi}^{II}}{V_T}$	$\frac{E_{\phi cp}^{II}}{E_{cp}}$	E_{max}^{IV}	$\frac{V_{\phi}^{IV}}{V_T}$	$\frac{E_{\phi cp}^{IV}}{E_{cp}}$
14.5	5.6	2.12	0.39	2.3	0.96	0.16

Вернемся к волне $N = 1$. По фазовым плоскостям (рис.12) видно что "размешивание" б-электронов к $t/T_{oe} \sim 100$ приводит к заполнению области захвата волны $N = 1$ после чего ее вид практически не меняется. В $t/T_{oe} \sim 100 - 200$ незначительно меняется вид функции распределения $f_b(V)$ (рис.13) и распределение $\tilde{n}_b(x)$ (рис.14). Обе функции имеют вид пиков с максимумами вблизи $V \sim V_{\phi cp}^I$ и $x \sim x_m$, так что в случае 2, как и в случае 1, захваченные частицы сосредоточены, в основном, около центра области захвата.

Сохранение распределения б-электронов на фазовой плоскости (рис.12), распределения по скорости (рис.13) и плотности $\tilde{n}_b(x)$ (рис.14), постоянство средней амплитуды волны (рис.10) и средней фазовой скорости показывает, что и в случае 2 формируется квазистационарная волна БГК, а конверсия остается подавленной.

Однако в случае 2, в отличие от случая 1, становится заметным новый процесс. По фазовым плоскостям электронов плазмы – р-электронов (рис.12) и функциям распределения р-электронов (рис.13) видно, что в $t/T_{oe} \geq 100$ в области $V > 0$ появляются ускоренные р-электроны с максимальными скоростями, превосходящими фазовую скорость гармоники $N = 4$ $V_{\phi}^{IV}/V_T \sim 4.34$. Это показывает, что гармоника $N = 4$ начинает захватывать р-электроны, что является начальной стадией стохастической неустойчивости. Этот процесс и приводит к небольшому затуханию гармоники $N = 4$ (рис.11б), уменьшению W_E и росту ΔW_e (рис.9). Мы рассмотрим этот процесс более подробно во второй части работы. Здесь отметим только, что анализ положения пробных частиц на фазовой плоскости (рис.12 черные кружки) позволяет оценить ширину областей стохастического движения р-электронов. В

случае 2 к $t/T_{oe} \sim 200$ максимальные V_N^{max} и минимальные V_N^{min} скорости пробных частиц – р-электронов, ширина областей стохастического движения $\delta V_N = V_N^{max} - V_N^{min}$ в области $V > 0$ и $V < 0$ и "зазор" между ними ΔV достигают величины:

$$V > 0, V_N^o = 2.84 \quad V < 0, V_N^o = -2.84$$

V_N^{max}/V_T	V_N^{min}/V_T	$\delta V_N/V_T$	V_N^{max}/V_T	V_N^{min}/V_T	$\delta V_N/V_T$	$\Delta V/V_T$
5.46	1.83	3.63	-1.86	-3.61	1.75	3.69

В работе [1] исследовалась структура волны БГК в случае 1-1. Было показано, что волна БГК содержит ядро захваченных волной $N = 1$ электронов, окруженное стохастическим слоем. Была сделана оценка границ стохастического слоя. В настоящей работе структура волны БГК специально не изучалась, хотя, судя по траекториям б-электронов, постоянно захваченные и движущиеся стохастически частицы есть и в случаях 1 и 2. Поскольку параметры волны БГК (средняя амплитуда, средняя фазовая скорость), а также вид функции распределения $f_b(V)$ и распределения $\tilde{n}_b(x)$ практически не отличаются от случая 1-1 [1], можно предположить, что и структура волны БГК остается той же. Это подтверждает сравнение внешних границ стохастического слоя волны БГК, которые можно оценить по максимальным V_{max}^b и минимальным V_{min}^b скоростям б-электронов (см [1]). Эти скорости, а также максимальные V_{max}^e и минимальные V_{min}^e скорости электронов плазмы (они понадобятся для сравнения во второй части работы) в $t/T_{oe} \sim 200$ в случаях 1-1 [1], 1 и 2 и в $t/T_{oe} \sim 600$ в случаях 1-1 [1] и 1 приведены в таблице 4.

Таблица 4.

Случай	$t/T_{oe} \sim 200$				$t/T_{oe} \sim 600$			
	$\frac{V_{max}^b}{V_T}$	$\frac{V_{min}^b}{V_T}$	$\frac{V_{max}^e}{V_T}$	$\frac{V_{min}^e}{V_T}$	$\frac{V_{max}^b}{V_T}$	$\frac{V_{min}^b}{V_T}$	$\frac{V_{max}^e}{V_T}$	$\frac{V_{min}^e}{V_T}$
1 – 1[1]	21.32	8.43	3.53	-3.30	22.11	8.01	4.12	-3.43
1	21.52	8.67	3.55	-3.33	21.71	8.62	3.74	-3.33
2	21.59	8.49	5.32	-3.62				

Из таблицы 4 видно, что V_{max}^b , V_{min}^b в случаях 1 и 2 почти не отличаются от случая 1-1 [1]. Это показывает, что практически не различаются и внешние границы стохастического слоя волны БГК.

Таким образом, взаимодействие пучка электронов с неоднородной плазмой с небольшими возмущениями плотности $\tilde{n}/n_0 \sim 0.01 - 0.05$ приводит к пучковой неустойчивости. Так же, как в случае однородной плазмы, нелинейная стадия пучковой неустойчивости определяется захватом электронов пучка. "Размешивание" захваченных электронов на фазовой плоскости приводит к формированию квазистационарной волны БГК, устойчивой в течение длительного времени. Возмущение плотности, хотя и приводит к конверсии, но не препятствует формированию и устойчивости волны БГК. Это согласуется с результатами работ [8,9], где исследовалась волна БГК в плазме с возмущениями плотности и было показано, что при небольших возмущениях плотности $\tilde{n}/n_0 < 0.1$ волна БГК остается устойчивой, а конверсия подавлена.

Литература

- [1] Г.А. Артин, Н.С. Бучельникова. Препринт ИЯФ N 98-36, Новосибирск, 1998.
- [2] Г.А. Артин, Н.С. Бучельникова. Препринты ИЯФ N 98-37, N 98-38, N 98-79, N 98-80, Новосибирск, 1998.
- [3] N.S. Buchelnikova, E.P. Matochkin Phys. Lett. 112A, 330, 1985.
- [4] В.Т. Астрелин, Н.С. Бучельникова. Phenomena in Ionized Gases XII v.1, p.283, Eindhoven, 1975; Препринт ИЯФ N 74-93, Новосибирск, 1974.
- [5] P.K. Kaw, A.T. Lin, J.M. Dawson. Phys. Fluids. 16, 1967, 1973.
- [6] N.S. Buchelnikova, E.P. Matochkin Physica Scripta 24, 566, 1981.
- [7] Н.С. Бучельникова, Е.П. Маточкин. Препринты ИЯФ N 80-192, Новосибирск, 1980; N 81-04, N 81-40, N 81-43, N 81-88, N 81-89, 1981; N 82-53, Новосибирск, 1982;
- [8] Н.С. Бучельникова, Б.Н. Лазеев. Препринты ИЯФ N 94-48, N 94-49, N 94-50, N 94-51, Новосибирск, 1994.
- [9] Г.А. Артин, Н.С. Бучельникова. Препринты ИЯФ N 97-28, N 97-29, N 97-30, N 97-31, Новосибирск, 1997.
- [10] В.С. Имшенник, Ю.И. Морозов. ЖТФ 31, 640, 1961.
- [11] И.Н. Онищенко, А.Р. Линецкий, Н.Г. Мацборко, В.Д. Шапиро, В.И. Шевченко. Письма ЖЭТФ 12, 407, 1970.
N.G. Matsiborko, I.N. Onishchenko, V.D. Shapiro, V.I. Shevchenko. Plasma Physics 14, 591, 1972.
- [12] T.M. O'Neil, J.H. Winfrey, J.H. Malmberg. Phys. Fluids 14, 1204, 1971.
T.M. O'Neil, J.H. Winfrey. Phys. Fluids 15, 1514, 1972.
- [13] K.W. Gentle, C.W. Roberson. Phys. Fluids 14, 2780, 1971.
K.W. Gentle, J. Lohr. Phys. Fluids 16, 1464, 1973.

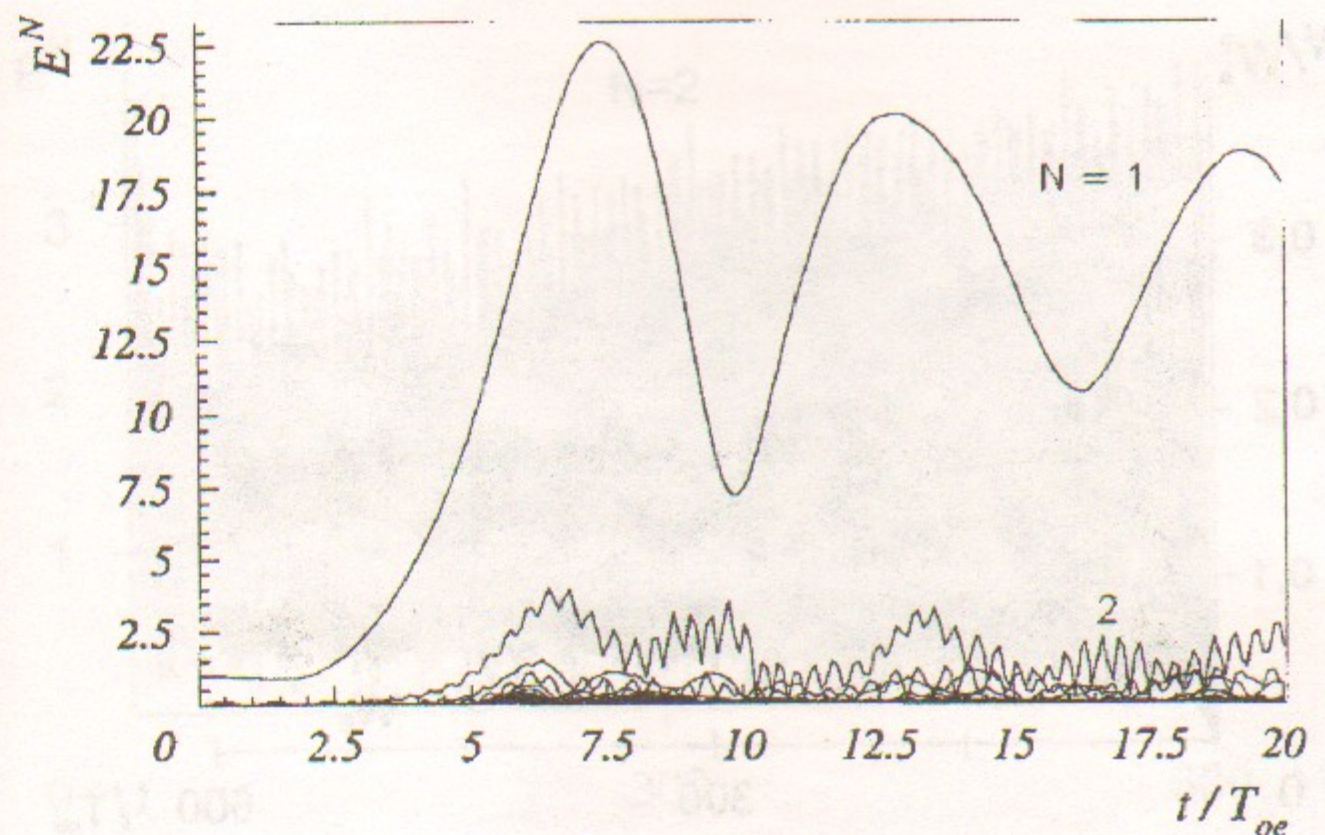


Рис. 1: Зависимость от времени амплитуды волны $N = 1$ и гармоник $N = 2 \div 10$. Случай 1.

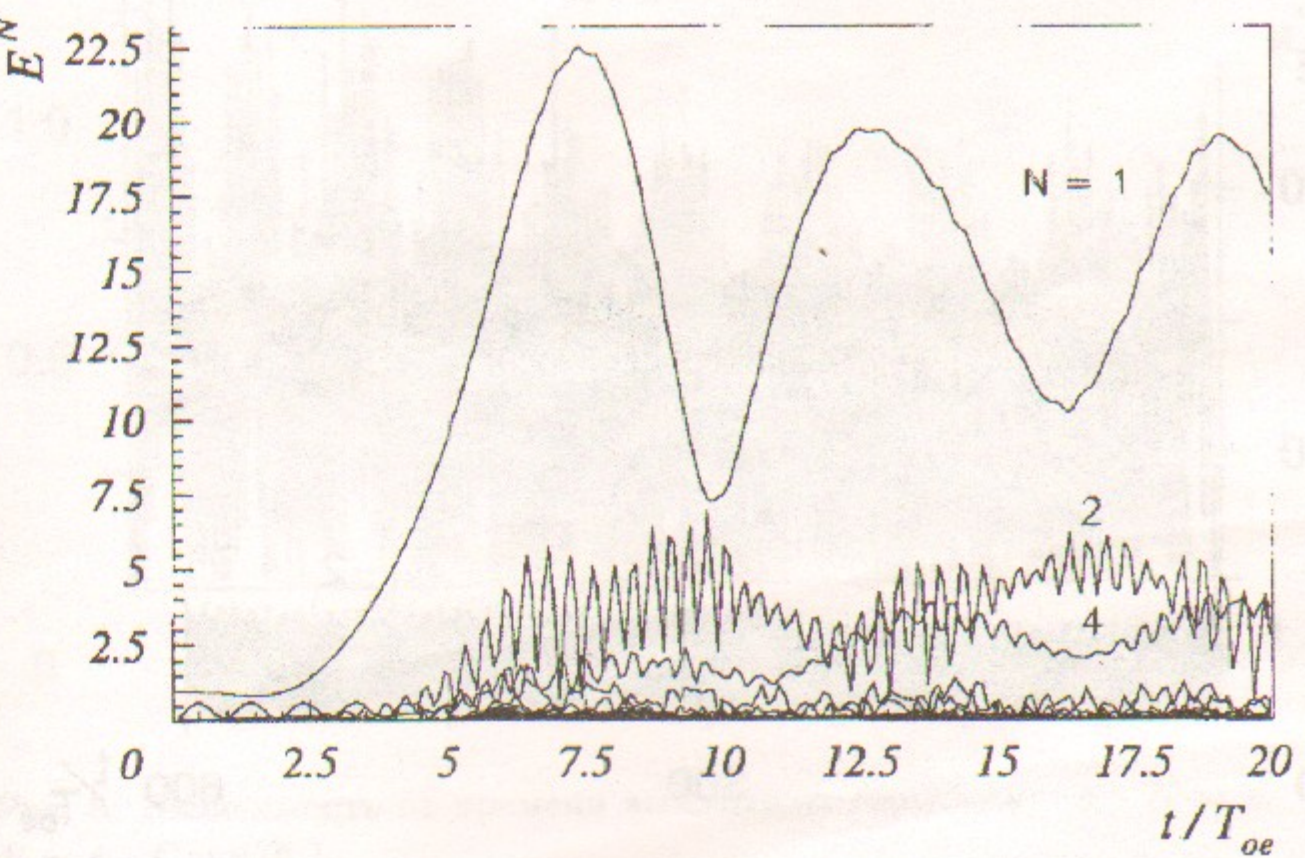


Рис. 2: Зависимость от времени амплитуды волны $N = 1$ и гармоник $N = 2 \div 10$. Случай 2.

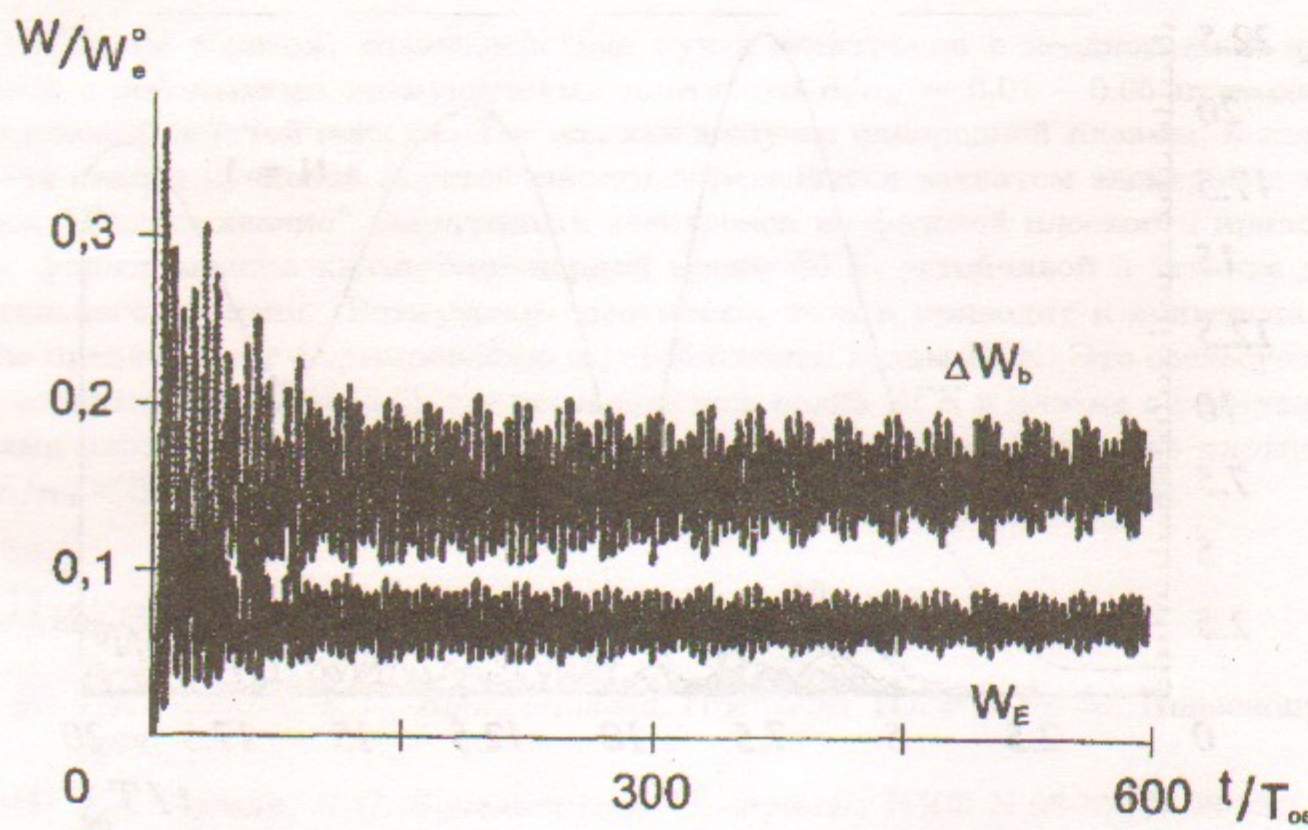


Рис. 3: Зависимость от времени энергии поля W_E и потерь энергии электронов пучка ΔW_b . Случай 1.

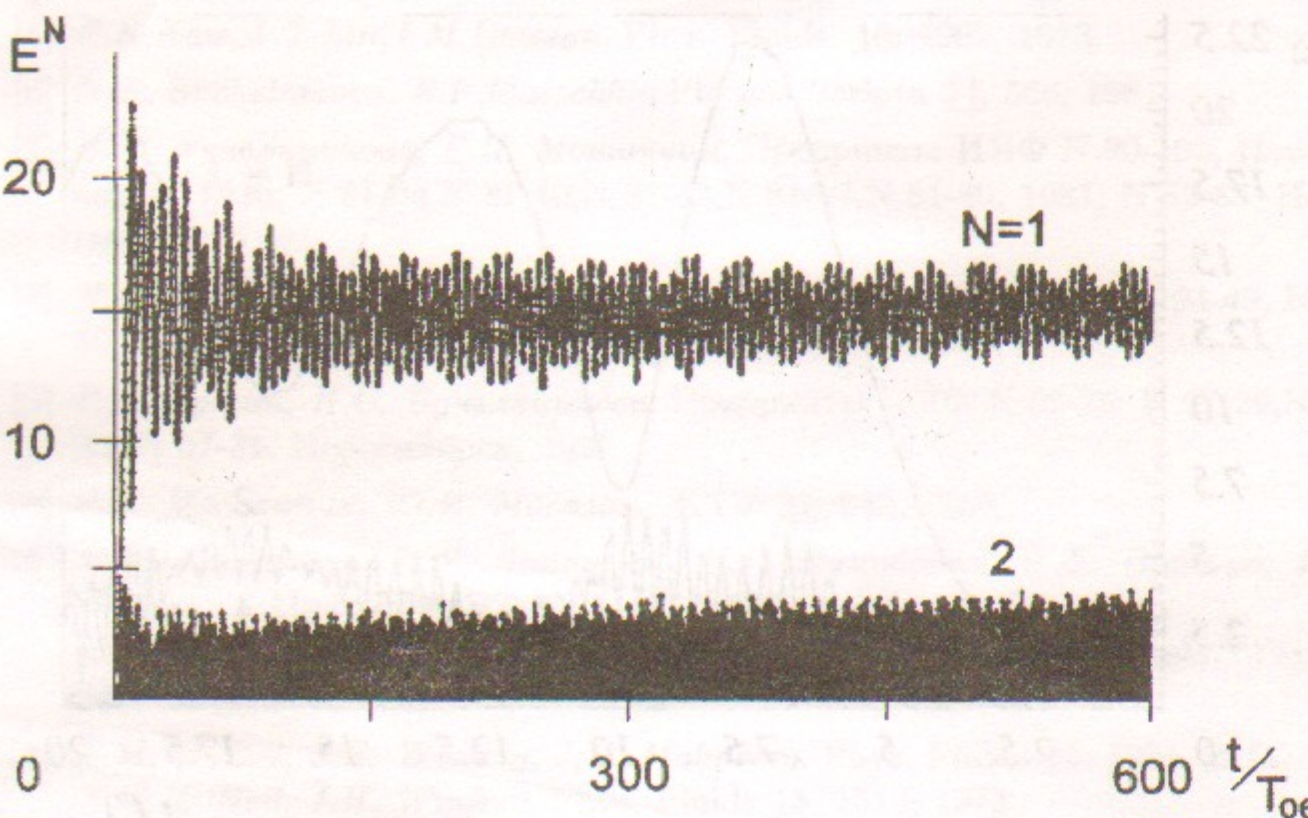


Рис. 4: Зависимость от времени амплитуды волны $N = 1$ и гармоник $N = 2 \div 10$. Случай 1.

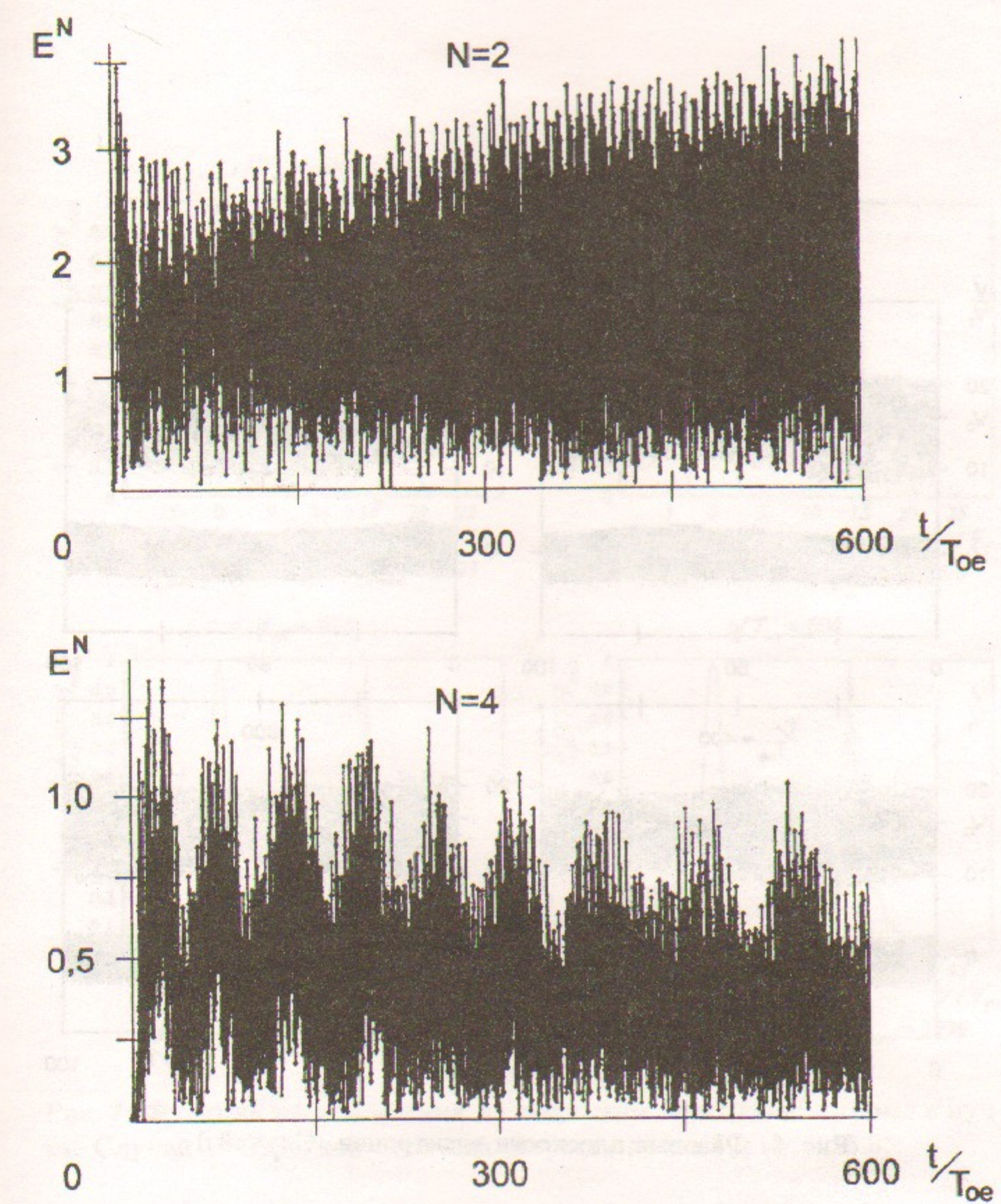


Рис. 5: Зависимость от времени амплитуды гармоник: а – $N = 2$; б – $N = 4$. Случай 1.

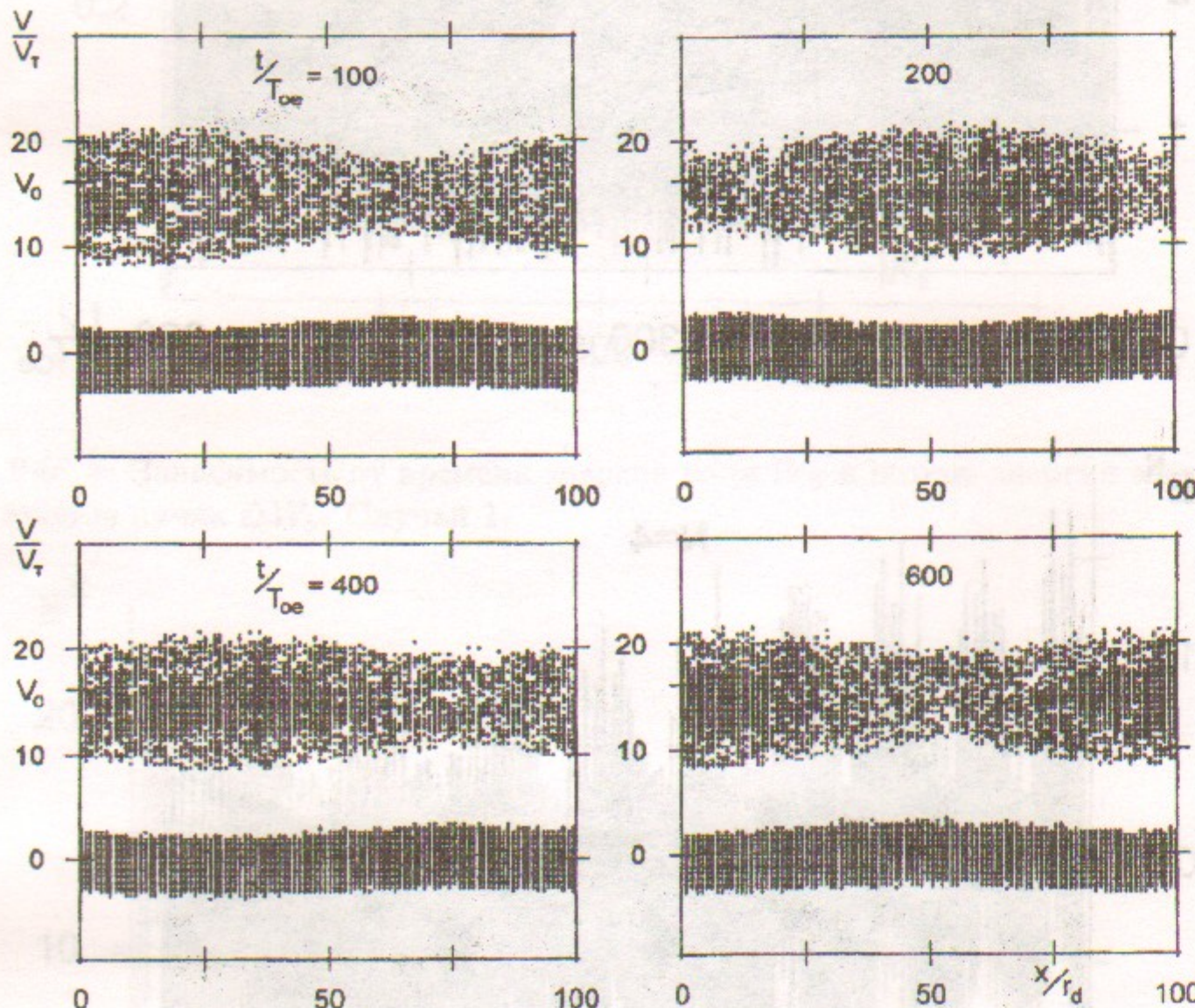


Рис. 6: Фазовые плоскости электронов. Случай 1.

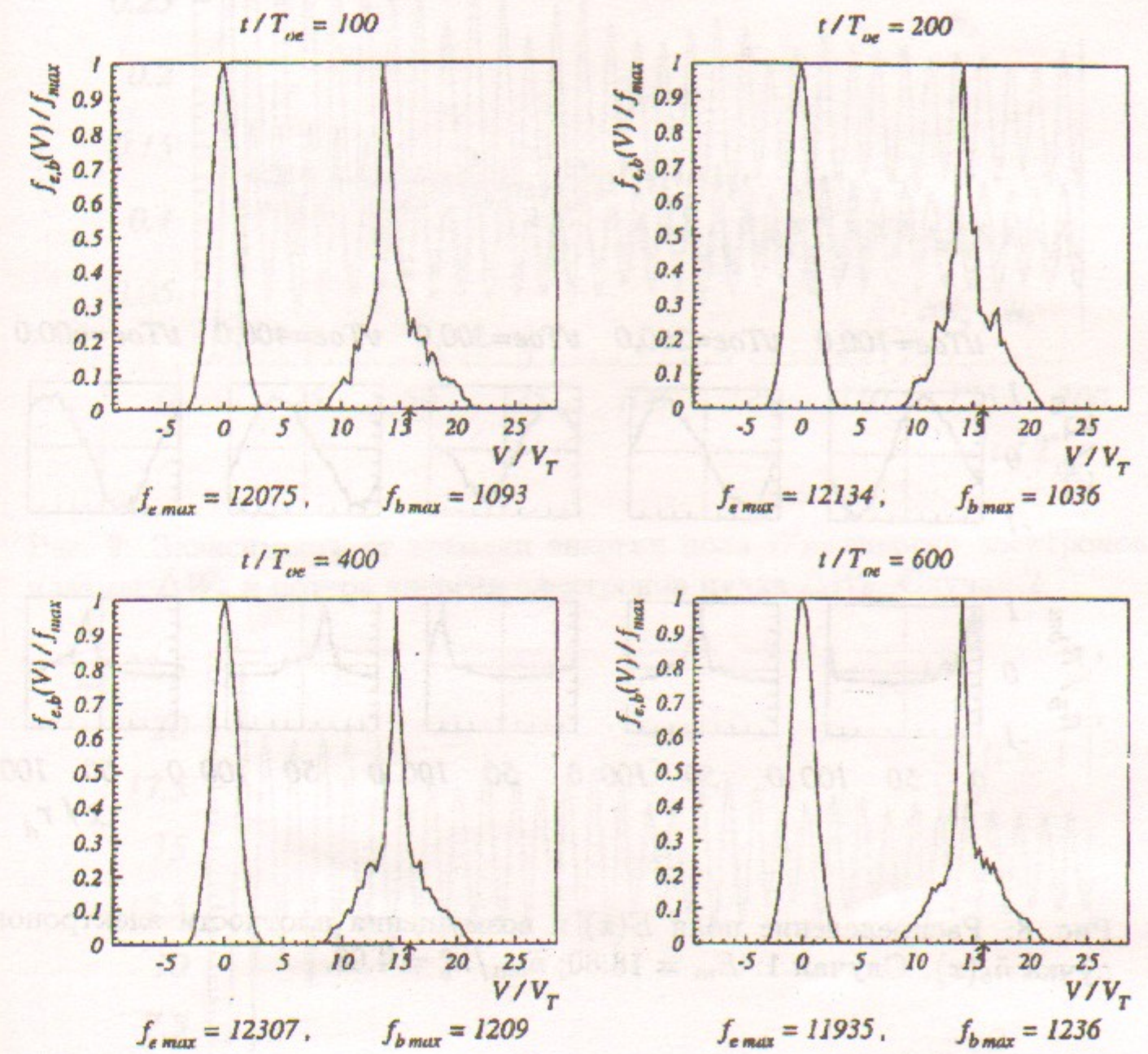


Рис. 7: Функции распределения по скоростям электронов плазмы и пучка. Случай 1. Стрелкой отмечена скорость пучка $V_o/V_T = 15.9$.

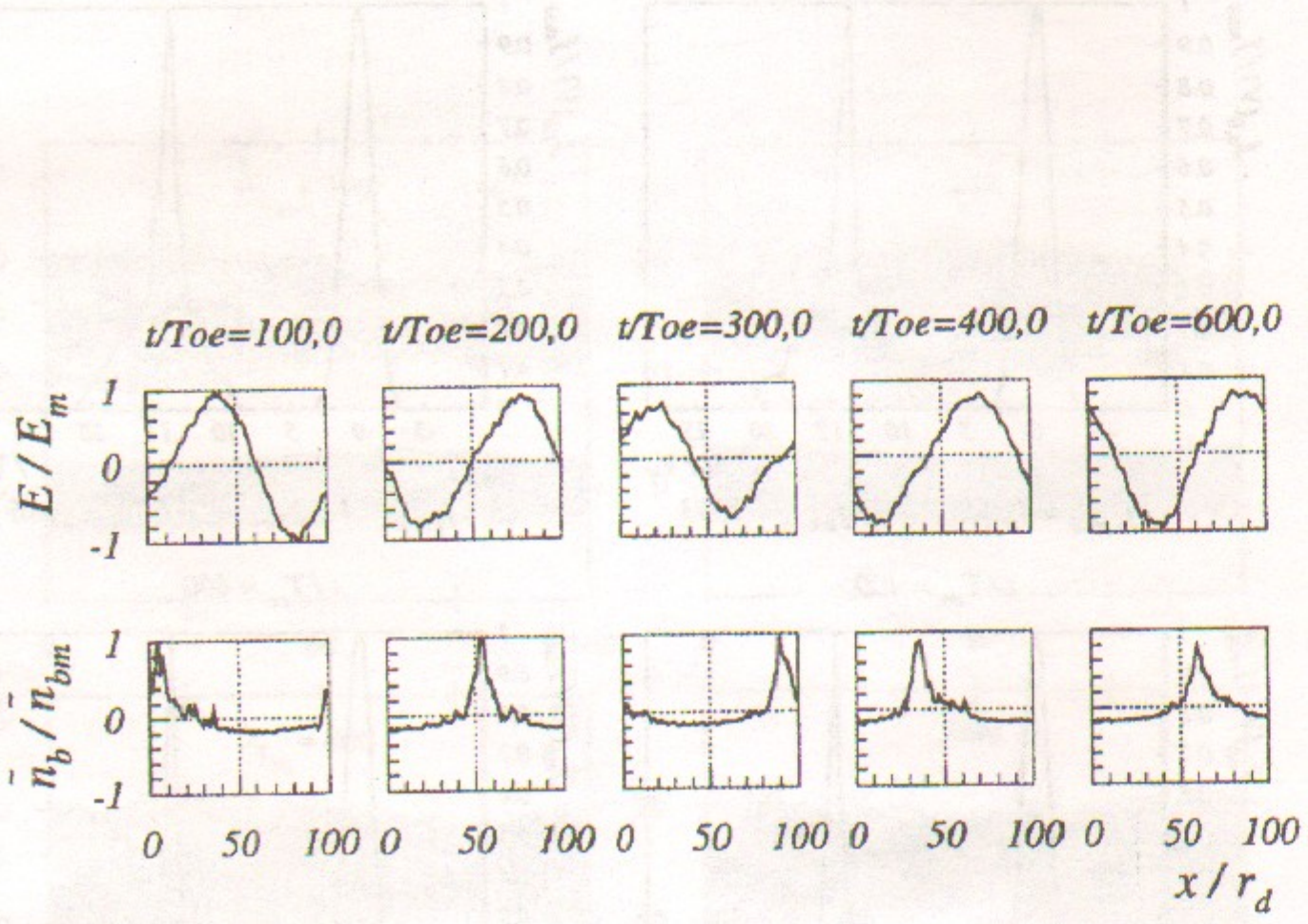


Рис. 8: Распределение поля $E(x)$ и возмущения плотности электронов пучка $\tilde{n}_b(x)$. Случай 1. $E_m = 18.80$; $\tilde{n}_{bm}/n_b^0 = 4.08$.

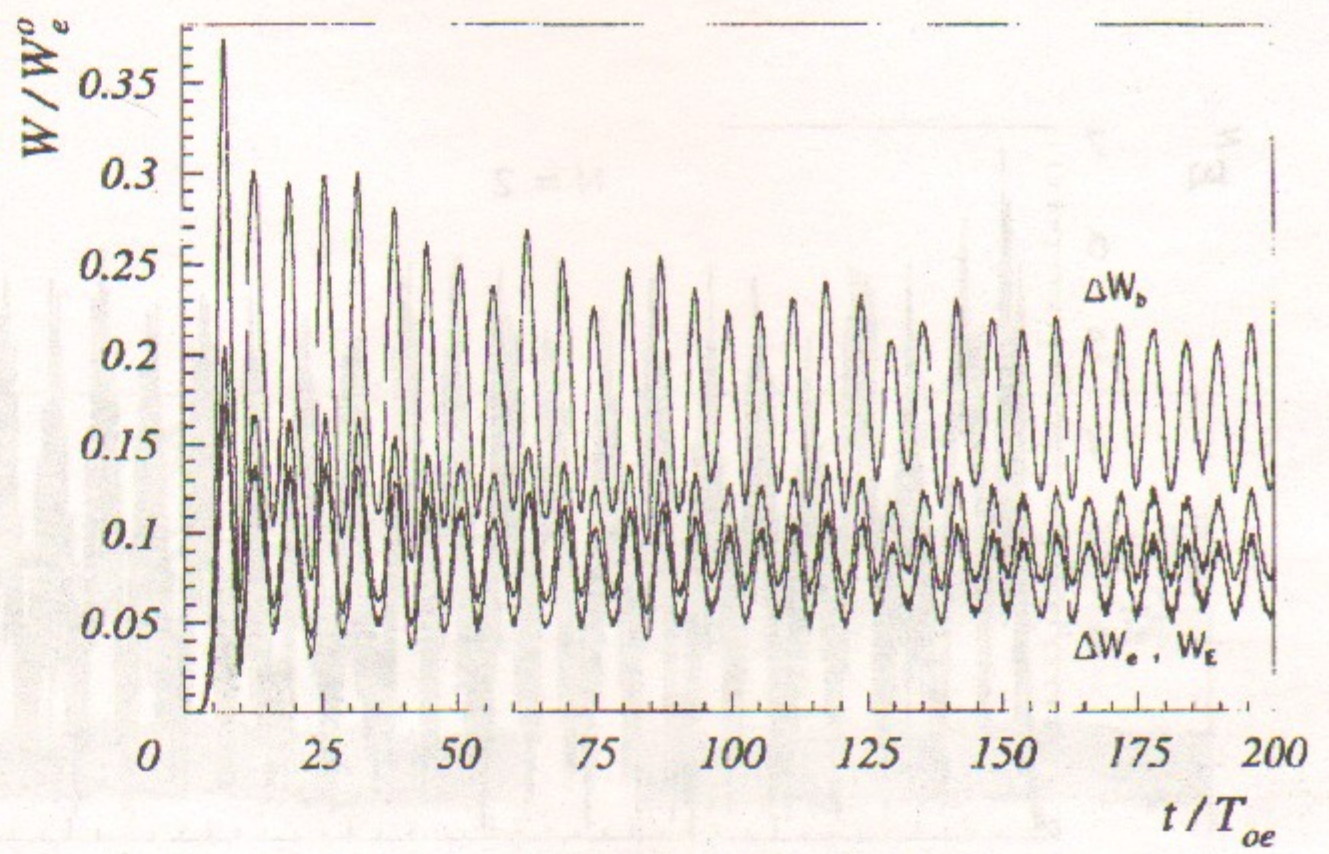


Рис. 9: Зависимость от времени энергии поля W_E , энергии электронов плазмы ΔW_e и потерь энергии пучка ΔW_b . Случай 2.

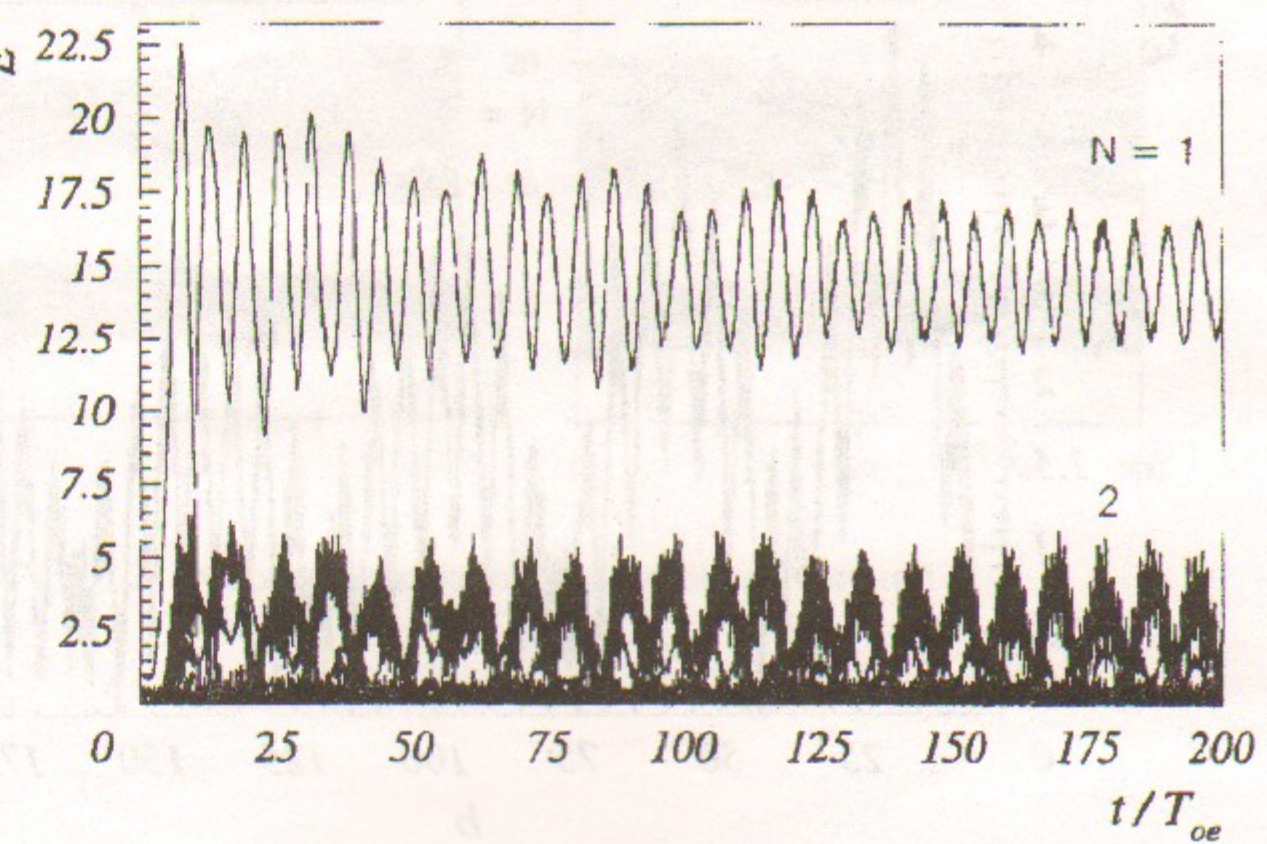


Рис. 10: Зависимость от времени амплитуды волны $N = 1$ и гармоник $N = 2 \div 10$. Случай 2.

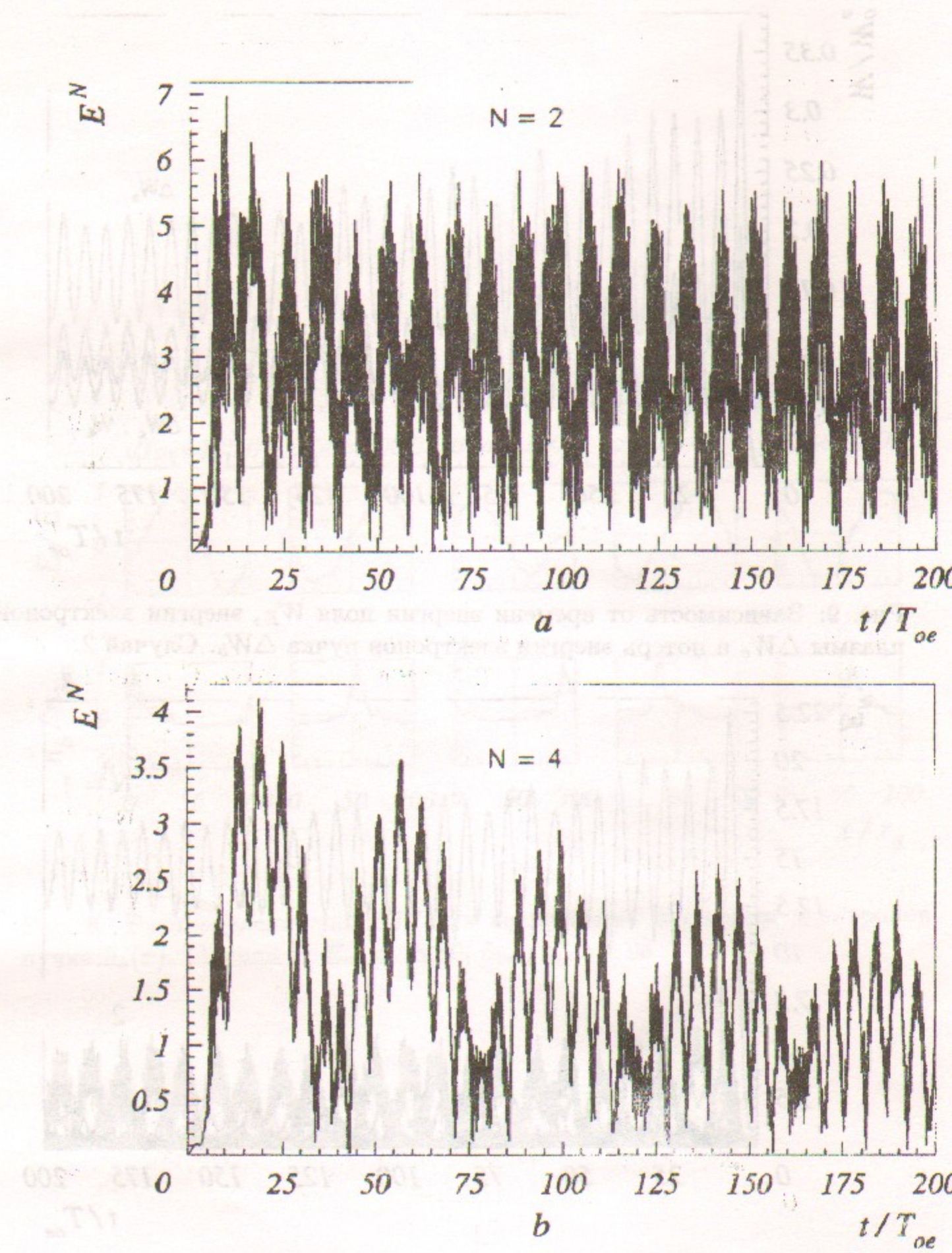


Рис. 11: Зависимость от времени амплитуды гармоник: $a - N = 2$; $b - N = 4$. Случай 2.

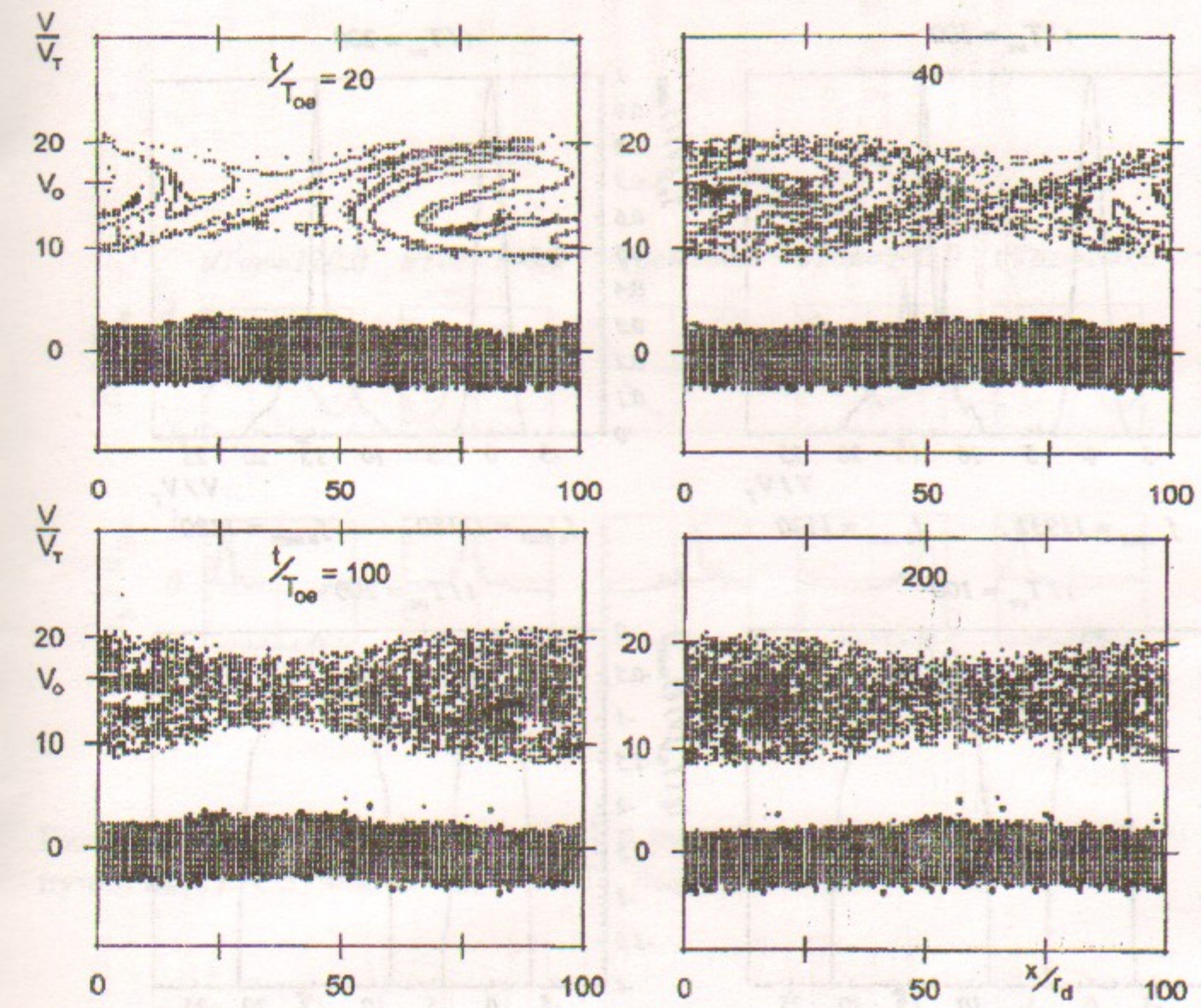


Рис. 12: Фазовые плоскости электронов. Случай 2.

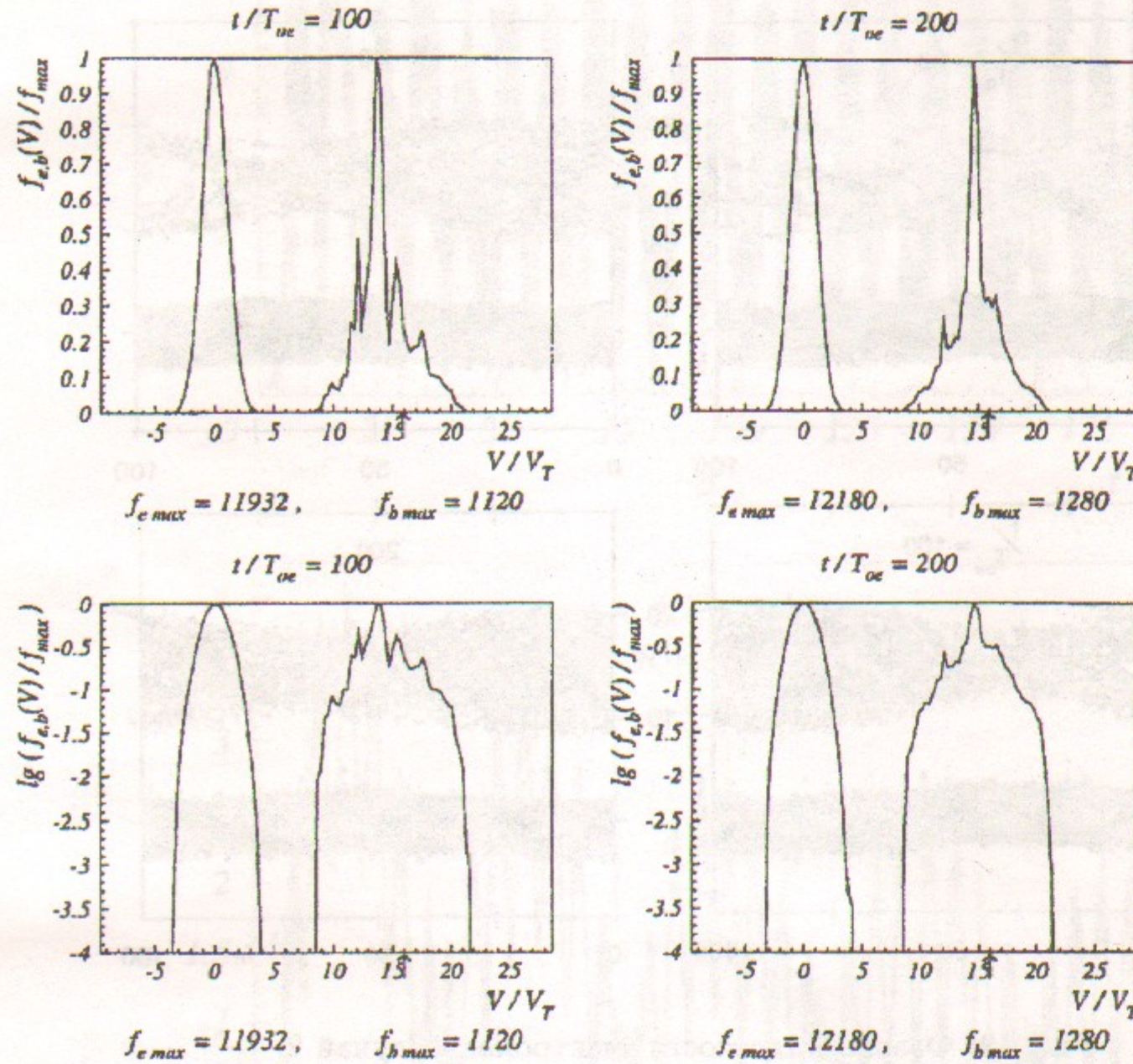


Рис. 13: Функции распределения по скоростям электронов плазмы и пучка. Случай 2. Стрелкой отмечена скорость пучка $V_o/V_T = 15.9$.

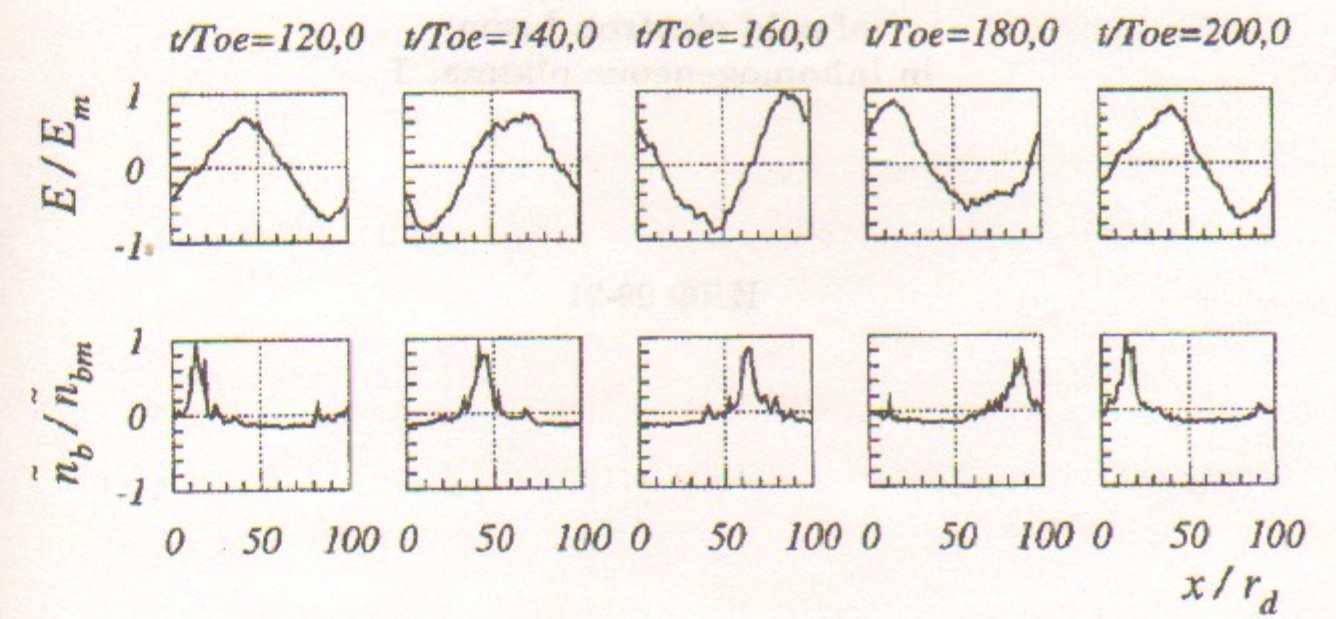


Рис. 14: Распределение поля $E(x)$ и возмущения плотности электронов пучка $\tilde{n}_b(x)$. Случай 2. $E_m = 20.32$, $\tilde{n}_{bm}/n_b^o = 4.36$.

H.S. Buchelnikova, V.E. Karlin

**Неустойчивость
холодного электронного пучка
в неоднородной плазме. I.**

N.S. Buchelnikova, V.E. Carlin

**The instability
of cold electron beam
in inhomogeneous plasma. I**

ИЯФ 99-21

Ответственный за выпуск А.М. Кудрявцев
Работа поступила 2.04.1999 г.

Сдано в набор 3.04.1999 г.

Подписано в печать 3.04.1999 г.

Формат бумаги 60×90 1/16 Объем 1.8 печ.л., 1.5 уч.-изд.л.
Тираж 140 экз. Бесплатно. Заказ № 21

Обработано на IBM PC и отпечатано на
ротапринте ИЯФ им. Г.И. Будкера СО РАН
Новосибирск, 630090, пр. академика Лаврентьева, 11.